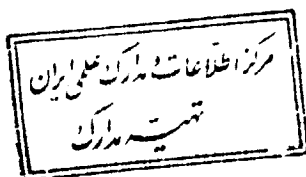


بسم الله الرحمن الرحيم

آنالیز فرآیند فورج اکسیتروژن معکوس برای تولید
قطعات توخالی

۱۳۷۶ / ۷ / ۲۲



بوسیله
رامین ابراهیمی

پایان نامه

ارائه شده به دانشکده تحصیلات تکمیلی به عنوان بخشی از فعالیتهای
تحصیلی لازم برای اخذ درجه کارشناسی ارشد

در رشته
مهندسی مواد (شناسائی، انتخاب و روش ساخت مواد فلزی)
از
دانشگاه شیراز
شیراز، ایران

ارزیابی و تصویب شده توسط کمیته پایان نامه با درجه: عالی
امضاء اعضاء کمیته پایان نامه:

دکتر محمد محسن مشکسار، دانشیار بخش مهندسی مواد (رئيس کمیته)
.....

دکتر کمال جانقربان، دانشیار بخش مهندسی مواد
.....

دکتر محمد جعفر هادیانفرد، استادیار بخش مهندسی مواد
.....

خرداد ۱۳۷۶

۰۲۳۵۳

۱۴۴۹

تقدیم :

به پدر و مادر عزیزم

۱۳۸۲۹

سپاسگزاری

با سپاس به درگاه ایزد منان، اوّلین معلم بشریت، که انسان را به سلاح دانش مسلح کرد و با عنایات غیبی خود، وی را از تنگناهای تاریکی و گمراهی به سوی نور و هدایت رهنمون شد و ندای «رَبِّ زِذْنِي عِلْمًا» را بر لب بندگان طالب کمالش جاری ساخت.

با تشکر و قدردانی از استاد گرامی جناب آقای دکتر محمدحسن مشکسار که با زحمات بی‌دریغ و راهنماییهای دقیق و ارزشمندانه، در رفع مشکلات پایان‌نامه این جانب کوشش کردند و همچنین از راهنماییهای آقایان دکتر کمال جانقربان و دکتر هادیانفرد، اعضای محترم کمیته پایان‌نامه، کمال تشکر را دارم.

از کادر محترم آزمایشگاههای بخش مهندسی مواد بخصوص سرکارخانم مهندس مریم پایدار و آقای مهندس سعید کیانی و آقای منتصری که در کارهای عملی پروژه با اینجانب همکاری نمودند، تشکر می‌کنم.

از دوستان گرامی آقایان مهندس مهدی افتخاری، مهندس حمید حسینی، مهندس فرزاد حیدری مهندس سیروس زمانی، مهندس امیر حسینی کلورزی، مهندس مهدی هاشمی که در کارهای کامپیوتربی پایان‌نامه، مرا یاری نمودند سپاسگزاری می‌کنم.

چکیده

آنالیز فرآیند فورج اکستروژن معکوس برای تولید قطعات توخالی توسط

رامین ابراهیمی

در این تحقیق فرآیند فورج اکستروژن معکوس قطعات توخالی با مقطع چندضلعی و دایره‌ای با استفاده از نظریه حد بالایی مورد بررسی قرار گرفته است. با بکارگیری این تئوری توان تغییرشکل داخلی، توان ناشی از اصطکاک و کار زاید و در صورت ضربه‌ای انجام شدن فرآیند، توان لازم برای غلبه بر اینرسی نیز قابل محاسبه می‌باشد.

برای آنالیز این فرآیند دو مدل هندسی مختلف برای ناحیه تغییرشکل پیشنهاد شده است. در مدل اول برای آنالیز مرحله اول این فرآیند از یک میدان سرعت کروی با سطوح ناپیوستگی استوانه‌ای استفاده شده است. برای آنالیز مرحله نهایی فرآیند از یک میدان سرعت استوانه‌ای با سطوح ناپیوستگی منحنی استفاده شده است. در مدل هندسی دوم یک میدان سرعت استوانه‌ای با سطوح ناپیوستگی منشوری بکار گرفته شده است.

با توجه به مدل‌های هندسی پیشنهاد شده میدان سرعت در هر ناحیه تغییرشکل تعیین شده و با رسم خطوط میدان سرعت در نواحی مختلف، چگونگی سیلان فلز نمایش داده شده است.

نتایج آنالیز ریاضی بصورت معادلات و نمودارهای مختلف ارائه شده‌اند. در معادلات ارائه شده، علاوه‌بر فاکتورهای هندسی، دو فاکتور تنش سیلان و فاکتور ثابت اصطکاک نیز ظاهر شده‌اند. تنש سیلان با استفاده از آزمایش فشار تک محوری تعیین شده و فاکتور ثابت اصطکاک با بکارگیری آزمایشهای حلقه و اکستروژن دو طرفه اندازه‌گیری شده است.

در بخش آزمایشگاهی پروژه، قالب و سمه‌های فرآیند فورج اکستروژن معکوس طراحی و ساخته شدند. عملیات حرارتی مناسب نیز بر روی قطعات قالب و سمه انجام

گرفته است. آزمایشها برای قطعات توخالی با مقطع شش ضلعی و دایره‌ای، با کاهش مقاطع مختلف، بر روی آلومینیم تجاری انجام شده‌اند.

از مقایسه نتایج تنوری و تجربی محدوده استفاده از هر مدل هندسی تعیین شده است.

نیروی پیش‌بینی شده توسط حل حد بالایی تقریباً ده درصد بیشتر از نیروی واقعی برای تغییرشکل در این فرآیند می‌باشد.

برای بررسی تجربی سیلان تعدادی از نمونه‌های اولیه در جهت محورشان نصف و مقطع آنها شبکه‌بندی شده است. با انجام فرآیند فورج اکستروژن معکوس روی این نمونه‌ها، نحوه سیلان فلز بطور واضح نمایش داده شده است. این آزمایشها نیز هماهنگی مدل‌های پیشنهادی با شکل واقعی ناحیه تغییرشکل را نشان میدهند.

فهرست مطالب

عنوان	صفحه
فهرست جداول	۵۵
فهرست اشکال	یازده
فهرست علامت اختصاری	هفده
فصل اول - مقدمه ..	۱
فصل دوم - تاریخچه و تئوری	۷
۱-۱- تاریخچه ..	۷
۱-۲- فاکتورهای مهم در فرآیند فورج اکستروژن معکوس ..	۱۴
۱-۳- قابلیت شکل پذیری فلزات ..	۱۵
۱-۴- سرعت تغییر شکل ..	۱۶
۱-۵- محاسبه تنش سیلان ..	۱۶
۱-۶- اصطکاک در فرآیند فورج اکستروژن معکوس ..	۱۷
۱-۶-۱- آزمایش استاندارد حلقه برای تعیین فاکتور ثابت اصطکاک ..	۱۹
۱-۶-۲- تعیین فاکتور ثابت اصطکاک با استفاده از اکستروژن دو طرفه ..	۲۲
۱-۷- روانسازها ..	۲۴
۱-۸- مؤلفه های نرخ کرنش ..	۲۵
۱-۹- تئوری حد بالایی ..	۲۶
۱-۹-۱- توان لازم برای تغییر شکل داخلی ..	۲۷
۱-۹-۲- توان مصرفی روی سطوح ناپیوستگی سرعت ..	۲۸
۱-۹-۳- توان مصرفی روی سطوح اصطکاکی ..	۲۹

عنوان

صفحه

فصل سوم - روش تحقیق ۳۰	۳۰
۱-۱- مقدمه ۳۰	۳۰
۲-۲- طراحی قالب ۳۰	۳۰
۱-۲-۳- سمبه ۴۱	۴۱
۲-۲-۳- لقمه شکل دهنده مرکزی قالب ۴۳	۴۳
۲-۲-۳- سیستم بیرون انداز ۴۶	۴۶
۴-۲-۳- سیستم جدا کننده قطعه از سمبه ۴۶	۴۶
۲-۲-۳- میل راهنمای ۴۶	۴۶
۳-۳- انتخاب مواد قالب ۴۸	۴۸
۴-۳- عملیات حرارتی ۴۹	۴۹
۵-۳- انجام آزمایش حلقه برای تعیین فاکتور ثابت اصطکاک ۵۰	۵۰
۶-۳- انجام آزمایش اکستروژن دو طرفه برای تعیین فاکتور ثابت اصطکاک ۵۲	۵۲
۷-۳- انجام آزمایش فشار تک محوری ۵۳	۵۳
۸-۳- تهیه نمونه ۵۷	۵۷
۹-۳- تهیه نمونه برای بررسی سیلان ۵۸	۵۸
۱۰-۳- انجام آزمایش فورج اکستروژن معکوس ۵۹	۵۹
۱۱-۳- بررسی تجربی سیلان ۶۶	۶۶
فصل چهارم - ارائه مدل ریاضی برای آنالیز فرآیند فورج اکستروژن معکوس قطعات توحالی با مقطع چند ضلعی و مقایسه آنالیز ریاضی با نتایج تجربی ۶۷	۶۷
۱-۴- مقدمه ۶۷	۶۷
۲-۴- آنالیز مرحله اول اکستروژن با انتخاب سطوح ناپیوستگی استوانه‌ای در یک سیستم کروی ۶۷	۶۷
۱-۲-۴- میدان سرعت ۶۹	۶۹

هفت

عنوان

صفحه

۲-۲-۴- تعیین سرعت در سطوح ناپیوستگی سرعت ۷۱	۷۱
۳-۲-۴- میدان نرخ کرنش ۷۲	۷۲
۴-۲-۴- توان تغییرشکل داخلی ۷۲	۷۲
۴-۵-۲-۴- توان مصرفی روی سطوح ناپیوستگی سرعت ۷۴	۷۴
۴-۶-۲-۴- توان مصرفی ناشی از اصطکاک ۷۸	۷۸
۴-۷-۲-۴- توان مصرفی ناشی از فشار خارجی ۷۸	۷۸
۴-۸-۲-۴- محاسبه فشار نسبی فورج اکستروژن معکوس ۷۹	۷۹
۴-۹-۲-۴- زاویه بهینه هرم ناحیه مرده یا ناحیه تغییرشکل پلاستیک ۷۹	۷۹
۴-۱۰-۲-۴- نتایج حاصل از بررسی های تنوری ۸۱	۸۱
۴-۳- آنالیز مرحله نهایی اکستروژن با بکارگیری سطوح ناپیوستگی منحنی در یک سیستم استوانه ای ۹۱	۹۱
۴-۱-۳-۴- میدان سرعت ۹۱	۹۱
۴-۲-۳-۴- تعیین شکل سطح ناپیوستگی S_6 ۹۲	۹۲
۴-۳-۳-۴- میدان نرخ کرنش ۹۳	۹۳
۴-۴-۳-۴- توان داخلی تغییرشکل ۹۳	۹۳
۴-۵-۳-۴- توان مصرفی روی سطح ناپیوستگی S_6 ۹۴	۹۴
۴-۶-۳-۴- توان مصرفی ناشی از اصطکاک ۹۵	۹۵
۴-۷-۳-۴- محاسبه فشار نسبی اکستروژن در مرحله نهایی ۹۶	۹۶
۴-۴- آنالیز مرحله اول اکستروژن با بکارگیری سطوح ناپیوستگی منشوری در یک سیستم استوانه ای ۱۰۰	۱۰۰
۴-۱-۴-۴- میدان سرعت ۱۰۰	۱۰۰
۴-۲-۴-۴- محاسبه توان داخلی تغییرشکل در ناحیه I ۱۰۲	۱۰۲
۴-۳-۴-۴- محاسبه توان داخلی تغییرشکل در ناحیه II ۱۰۳	۱۰۳

صفحة	عنوان
	عنوان و چکیده به زبان انگلیسی
	مراجع
۱۶۱	پیوست
۱۴۳	۲-۵- پیشنهادات
۱۴۲	۱-۵- خلاصه نتایج
۱۳۸	فصل پنجم - نتیجهگیری و پیشنهادات
۱۳۴	۴-۸- بررسی عیوب در فرآیند فورج اکستروژن معکوس
۱۲۸	فصل پنجم - نتیجهگیری و پیشنهادات
۱۲۵	۴-۷- بررسی سیلان فلز
۱۱۳	۴-۶- منحنی‌های نیرو بر حسب جابه‌جایی سنبه در طول فرآیند فورج اکستروژن معکوس
۱۱۱	۴-۵- آنالیز مرحله نهایی اکستروژن با بکارگیری سطوح ناپیوستگی منشوری در یک سیستم استوانه‌ای
۱۰۸	۴-۱۱- تعیین عمق ناحیه تغییرشکل در مرحله اول فرآیند فورج اکستروژن معکوس
۱۰۸	۴-۱۰- محاسبه فشار نسبی فورج اکستروژن معکوس در مرحله اول
۱۰۷	۴-۹- توان اصطکاکی روی سطح S_7
۱۰۶	۴-۷- توان اصطکاکی روی سطح S_5
۱۰۶	۴-۸- توان اصطکاکی روی سطح S_8
۱۰۵	۴-۶- توان اصرافی روی سطوح S_4 و S_6
۱۰۵	۴-۵- توان اصرافی روی سطح S_3
۱۰۴	۴-۴- توان اصرافی روی سطح اصطکاکی S_1 و سطح ناپیوستگی S_2

فهرست جداول

صفحه	جدول
	جدول ۱-۳- ترکیب فولادهای استفاده شده ۴۹
	جدول ۲-۳- نتایج آزمایش حلقه ۵۱
	جدول ۳-۳- نتایج آزمایش اکستروزن دوطرفه ۵۳
	جدول ۳-۴- نتایج آزمایش فشار ۵۴

فهرست اشکال

صفحه	شكل
۱-۱- روش‌های اصلی اکستروژن: a- اکستروژن مستقیم b- اکستروژن غیرمستقیم ...	۱
۱-۲- نمودار نیرو در طول انجام فرآیندهای اکستروژن مستقیم و غیرمستقیم	۲
۱-۳- فرآیند فورج اکستروژن معکوس	۳
۱-۴- نمودار نیرو بر حسب جایه‌جایی سمبه در طول فرآیند فورج اکستروژن معکوس ..	۴
۱-۵- هندسه نواحی تغییرشکل در فرآیند مرکب اکستروژن مستقیم - معکوس ..	۹
۱-۶- هندسه نمونه اولیه و نمونه اکسترود شده دولایه‌ای	۱۰
۱-۷- نیروی پیش‌بینی شده توسط شبیه‌سازی اجزاء محدود	۱۱
۱-۸- پیش‌بینی نحوه سیلان فلز توسط شبیه‌سازی اجزاء محدود	۱۲
۱-۹- هندسه دو مد تغییرشکل در حلقه	۲۰
۱-۱۰- اکستروژن دوطرفه	۲۲
۱-۱۱- پیش‌بینی نسبت $\frac{h_1}{h_2}$ بر حسب جایه‌جایی سمبه برای کاهش مقاطع مختلف	۲۳
۱-۱۲- پیش‌بینی نسبت ارتفاع فلز اکسترود شده به سمت بالا و به سمت پایین بر حسب جایه‌جایی سمبه برای نسبت‌های مختلف ابعادی نمونه اولیه	۲۴
۱-۱۳- پیش‌بینی نسبت ارتفاع فلز اکسترود شده به سمت بالا و به سمت پایین بر حسب جایه‌جایی سمبه برای مقادیر مختلف m	۲۴
۱-۱۴- نمایش مؤلفه‌های سرعت در دو طرف سطح ناپیوستگی سرعت	۲۹
۱-۱۵- نقشه کامل قسمتهای مختلف قالب	۳۲
۱-۱۶- نقشه بلوک پایینی قالب	۳۳
۱-۱۷- نقشه بلوک پشت‌بند لقمه مرکزی مشکل‌دهنده قالب	۳۴
۱-۱۸- نقشه بلوک بالایی قالب	۳۵

یازده

صفحه

شکل

۵-۳- نقشه حلقه حکم کننده میل راهنمای و لقمه مرکزی شکل دهنده قالب ۳۶	
۶-۳- نقشه لقمه گرد مرکزی شکل دهنده قالب ۳۷	
۷-۳- نقشه لقمه شش ضلعی مرکزی شکل دهنده قالب ۳۸	
۸-۳- نقشه نمونه ای از سببه گرد و شش ضلعی ۳۹	
۹-۳- قطعات قالب ۴۰	
۱۰-۳- قالب مونتاژ شده ۴۰	
۱۱-۳- سببه سرگرد ۴۲	
۱۲-۳- بلوک بالایی قالب همراه با سببه نصب شده در آن ۴۲	
۱۳-۳- دو لقمه با شکل داخلی دایره ای با قطرهای ۲۰ و ۲۴ میلیمتر و یک لقمه با شکل داخلی شش ضلعی که قطر دایره محاطی آن ۱۹ میلیمتر ۴۵	
۱۴-۳- سیستم جدا کننده ۴۷	
۱۵-۳- میل راهنمای ۴۷	
۱۶-۳- نمونه های آزمایش حلقه قبل و بعد از آزمایش ۵۱	
۱۷-۳- سیستم اندازه گیری اصطکاک در آزمایش اکستروژن دو طرفه ۵۳	
۱۸-۳- نمونه های آزمایش فشار قبل از انجام آزمایش ۵۵	
۱۹-۳- نمونه های آزمایش فشار بعد از انجام آزمایش ۵۶	
۲۰-۳- روش کوک و لارک ۵۶	
۲۱-۳- منحنی تنش و کرنش آلومینیم تجاری ۵۷	
۲۲-۳- مراحل تهیه نمونه بررسی سیلان ۵۸	
۲۳-۳- مقطع یک نمونه شبکه بندی شده ۵۹	
۲۴-۳- پرس همراه با قالب فورج اکستروژن معکوس و سیستم کامپیوتری ۶۱	
۲۵-۳- نحوه نصب قالب به پرس ۶۱	
۲۶-۳- منحنی نیرو بر حسب جایه جایی سببه ۶۲	

شکل

صفحه

۲۷-۳- نمونه اولیه و قطعه گرد تولید شده	۶۲
۲۸-۳- نمونه اولیه و قطعه شش ضلعی تولید شده	۶۳
۲۹-۳- قطعات گرد با قطر خارجی ۲۴ میلیمتر همراه با سنبه‌های مربوط به آنها	۶۳
۳۰-۳- قطعات گرد با قطر خارجی ۲۰ میلیمتر همراه با سنبه‌های مربوط به آنها	۶۴
۳۱-۳- قطعات با شکل داخلی شش ضلعی و با قطر خارجی ۲۴ میلیمتر همراه با سنبه‌های مربوط به آنها	۶۴
۳۲-۳- قطعات با شکل داخلی شش ضلعی و با قطر خارجی ۲۰ میلیمتر همراه با سنبه‌های مربوط به آنها	۶۵
۳۳-۳- قطعات شش ضلعی با شکل داخلی گرد همراه با سنبه‌های مربوط به آنها	۶۵
۳۴-۳- قطعات شش ضلعی همراه با سنبه‌های مربوط به آنها	۶۶
۴-۱- مرحله اول فورج اکستروژن معکوس همراه با بردارهای سرعت در نواحی مختلف	۶۸
۴-۲- مرحله اول فورج اکستروژن معکوس همراه با بردارهای سرعت جدید در نواحی مختلف	۶۹
۴-۳- هندسه قطاعی از ناحیه تغییرشکل	۷۰
۴-۴- هندسه سطح ناپیوستگی سرعت S_1	۷۵
۴-۵- هندسه سطح ناپیوستگی سرعت S_3	۷۷
۴-۶- مقایسه مقادیر α محاسبه شده از حل عددی معادله (۴۴-۴) با مقادیر بدست آمده از معادله (۴۶-۴)	۸۱
۴-۷- تأثیر نسبت شعاع خارجی به شعاع داخلی دایره محاطی چندضلعی بر روی زاویه بهینه هرم	۸۲
۴-۸- تأثیر تعداد اضلاع قطعه بر روی زاویه بهینه هرم	۸۲
۴-۹- تأثیر اصطکاک بر زاویه بهینه هرم و فشار نسبی	۸۳
۴-۱۰- تأثیر تعداد اضلاع قطعه بر زاویه بهینه هرم و فشار نسبی	۸۴

شکل

صفحه

۱۱-۴- اثر کاهش مقطع و اصطکاک بر روی فشار نسبی در شروع فرآیند.....	۸۵
۱۲-۴- اثر کاهش مقطع و اصطکاک بر فشار نسبی در اواسط فرآیند.....	۸۵
۱۳-۴- تأثیر تعداد اضلاع قطعه بر فشار نسبی و ضخامت بهینه دیواره قطعه	۸۶
۱۴-۴- تأثیر درصد کاهش مقطع بر فشار نسبی و زاویه بهینه هرم	۸۷
۱۵-۴- تأثیر فشار عقبی بر فشار نسبی و زاویه بهینه	۸۸
۱۶-۴- تأثیر سببه دماغه دار در کاهش فشار نسبی در مرحله اول اکستروژن	۸۹
۱۷-۴- تأثیر شکل قطعه (تعداد اضلاع) بر زاویه تشکیل ناحیه مرده	۹۰
۱۸-۴- تأثیر درصد کاهش مقطع بر فشار نسبی	۹۰
۱۹-۴- نمایش مرحله نهایی فورج اکستروژن معکوس برای آنالیز دو ناحیه ای	۹۱
۲۰-۴- هندسه سطح ناپیوستگی سرعت S_6	۹۵
۲۱-۴- تأثیر اصطکاک بر فشار نسبی در طول فرآیند فورج اکستروژن معکوس قطعات گرد	۹۸
۲۲-۴- تأثیر اصطکاک بر فشار نسبی در طول فرآیند فورج اکستروژن معکوس قطعات شش ضلعی	۹۸
۲۳-۴- تأثیر تعداد اضلاع بر فشار نسبی در طول فرآیند فورج اکستروژن معکوس ..	۹۹
۲۴-۴- مقایسه فشار نسبی محاسبه شده برای فورج اکستروژن یک قطعه صد ضلعی با یک قطعه گرد	۱۰۰
۲۵-۴- مرحله اول فورج اکستروژن معکوس همراه با آنالیز سه ناحیه ای	۱۰۲
۲۶-۴- عمق ناحیه تغییر شکل بر حسب ضخامت دیواره قطعه	۱۰۹
۲۷-۴- تأثیر اصطکاک بر عمق ناحیه تغییر شکل	۱۱۰
۲۸-۴- مرحله نهایی فورج اکستروژن معکوس همراه با آنالیز سه ناحیه ای	۱۱۲
۲۹-۴- نمودارهای واقعی نیرو در طول انجام فرآیند فورج اکستروژن معکوس برای قطعات گرد با قطر خارجی ۲۴ میلیمتر	۱۱۳

شکل

صفحه

- ۴-۳۰- نمودارهای واقعی نیرو در طول انجام فرآیند فورج اکستروژن معکوس برای قطعات گرد با قطر خارجی ۲۰ میلیمتر ۱۱۵
- ۴-۳۱- نمودارهای واقعی نیرو در طول انجام فرآیند فورج اکستروژن معکوس برای قطعات شش ضلعی همراه با قطعات گرد معادل با آنها ۱۱۶
- ۴-۳۲- نمودار واقعی نیرو برای یک قطعه گرد با کاهش مقطع $69/4$ درصد ۱۱۶
- ۴-۳۳- نمودار واقعی نیرو برای یک قطعه گرد با کاهش مقطع $56/25$ درصد ۱۱۷
- ۴-۳۴- نمودار واقعی نیرو برای یک قطعه گرد با کاهش مقطع $44/4$ درصد ۱۱۷
- ۴-۳۵- نمودار واقعی نیرو برای یک قطعه گرد با کاهش مقطع 34 درصد ۱۱۸
- ۴-۳۶- نمودار واقعی نیرو برای یک قطعه گرد با کاهش مقطع 25 درصد ۱۱۸
- ۴-۳۷- نمودار واقعی نیرو برای یک قطعه گرد با کاهش مقطع $17/4$ درصد ۱۱۹
- ۴-۳۸- نمودار واقعی نیرو برای یک قطعه گرد با کاهش مقطع $11/1$ درصد ۱۱۹
- ۴-۳۹- نمودار واقعی نیرو برای یک قطعه گرد با کاهش مقطع 81 درصد ۱۲۰
- ۴-۴۰- نمودار واقعی نیرو برای یک قطعه گرد با کاهش مقطع 64 درصد ۱۲۰
- ۴-۴۱- نمودار واقعی نیرو برای یک قطعه گرد با کاهش مقطع 49 درصد ۱۲۱
- ۴-۴۲- نمودار واقعی نیرو برای یک قطعه گرد با کاهش مقطع 36 درصد ۱۲۱
- ۴-۴۳- نمودار واقعی نیرو برای یک قطعه گرد با کاهش مقطع 25 درصد ۱۲۲
- ۴-۴۴- نمودار واقعی نیرو برای یک قطعه گرد با کاهش مقطع 16 درصد ۱۲۲
- ۴-۴۵- نمودار واقعی نیرو برای یک قطعه شش ضلعی با کاهش مقطع 81 درصد ۱۲۳
- ۴-۴۶- نمودار واقعی نیرو برای یک قطعه شش ضلعی با کاهش مقطع 64 درصد ۱۲۳
- ۴-۴۷- نمودار واقعی نیرو برای یک قطعه شش ضلعی با کاهش مقطع 49 درصد ۱۲۴
- ۴-۴۸- نمودار واقعی نیرو برای یک قطعه شش ضلعی با کاهش مقطع 36 درصد ۱۲۴
- ۴-۴۹- تأثیر درصد کاهش مقطع بر فشار نسبی ۱۲۵
- ۴-۵۰- نحوه سیلان فلز مطابق آنالیز ۱ و ۲ برای کاهش مقطع $11/1$ درصد ۱۲۶